

## Kap. 27

### Magnetisk felt og magnetiske krefter

#### Kortfatta målsetning:

- Forstå at magnetiske monopoler ikke fins, kun dipoler.  
(mens elektriske monopoler fins, dvs.  $+q$ ,  $-q$ )
- Lære at permanente magneter og elektromagneter har samme årsak:  
-- ladninger i bevegelse.

## Kap. 27

### Kjapp historie

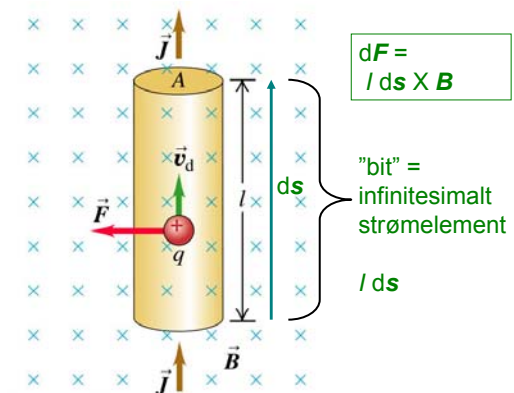
- 1000 f.Kr.: Kompass brukt i Kina og i Mexico  
 800 f.Kr.: Magnetisk materiale i Magnesia i Hellas  
 Magnetitt:  $\text{Fe}_3\text{O}_4$   
 1270: Nord- og sydpol  
 1600: Jordmagnetisme beskrives  
 1750: Magnetisk kraft prop. med  $1/r^2$   
 1819-25: Vitenskapelig arbeid:  
 Hans Christian Ørsted, André Ampere, Jean Baptist Biot,  
 Felix Savart, Michael Faraday, Joseph Henry  
 1870: Systematisering av teorien v/James Clerk Maxwell.

## Kap. 27

### Magnetisme

- **Magnetostatikk** (ingen tidsvariasjon):  
Kap 27. Magnetiske krefter  
Kap 28: Magnetiske kilder
- **Elektrodynamikk**:  
Kap 29-32:  
Tidsvariasjon: Induksjon mm.

### Kraft på ledningsbit



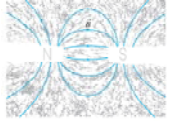
(Fig 27.25)

### Kap. 27: Magnetisk felt og magnetiske krefter

- Forrige forelesning:**
- Lorentzkrafta = elektrisk kraft + magnetisk kraft:
 
$$\mathbf{F} = q\mathbf{E} + q\mathbf{v} \times \mathbf{B}$$
 (magnetisk flukstetthet  $\mathbf{B}$  defineres fra denne kraftvirkningen)
- Kraft på lederbit med lengde  $ds$ :  $d\mathbf{F} = I ds \times \mathbf{B}$
- Magnetiske feltlinjer
- Magnetisk fluks:  $\Phi_B = \iint \mathbf{B} \cdot d\mathbf{A}$

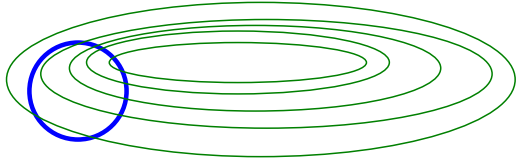

  

- Videre:**
- Gauss lov for  $\mathbf{B}$ -feltet
- Bevegelser av ladninger i  $\mathbf{B}$  og  $\mathbf{E}$ -felt, ved eksempler/anvendelser:
  - Hastighetsfilter
  - Thomsons  $e/m$ -eksperiment
  - Katodestrålerør
  - Massespektrometer
- Kraftmoment** på strømsløyfe
- Magnetisk moment  $\boldsymbol{\mu} = I \cdot \mathbf{A}$



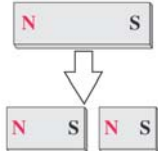
### Gauss' lov for magnetfelt:

Nettofluks lukka flate =  $\Phi_B = \int \mathbf{B} \cdot d\mathbf{A} = 0$

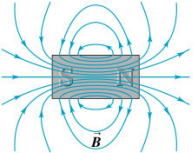


⇔ Feltlinjer er lukka kurver

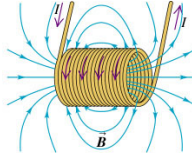
⇔ Magnetiske monopoler fins ikke:



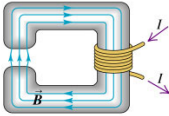
### Alle magnetiske feltlinjer er lukka kurver:



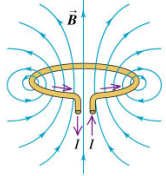
(a) Magnetic field lines through the center of a permanent magnet



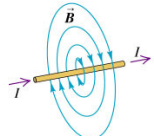
(b) Magnetic field lines through the center of a cylindrical current-carrying coil



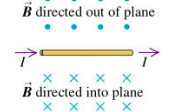
(c) Magnetic field lines through the center of an iron-core electromagnet



(d) Magnetic field lines in a plane containing the axis of a circular current-carrying loop

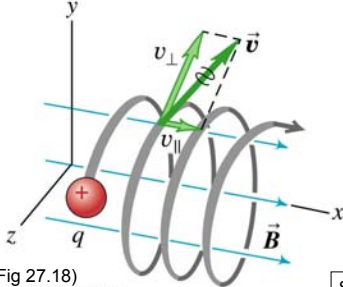


(e) Magnetic field lines in a plane perpendicular to a long, straight, current-carrying wire



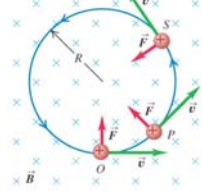
(f) Magnetic field lines in a plane containing a long, straight, current-carrying wire

### Heliksformet bane pga. Lorentzkrafta $\mathbf{F} = q\mathbf{E} + q\mathbf{v} \times \mathbf{B}$



(Fig 27.18)

Sett langs x-akse:

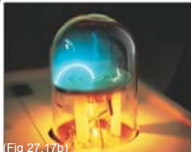


(Fig 27.17)

Syklotronradius:  $R = mv_{0z}/qB$  (27.11)

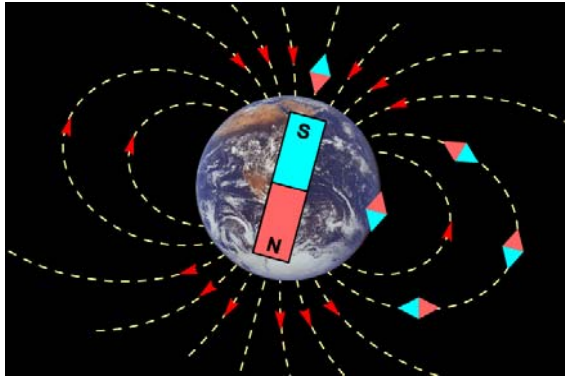
Syklotronfrekvens:  $\omega = qB_x/m$  (27.12)

Syklotronperiode:  $T = 2\pi / \omega$



(Fig 27.17b) Elektronstråle (blå) i magnetisk felt

### Magnetfeltlinjer rundt jorda



<http://stargazers.gsfc.nasa.gov>

### Nordlys i "van Allen strålingsbelter"

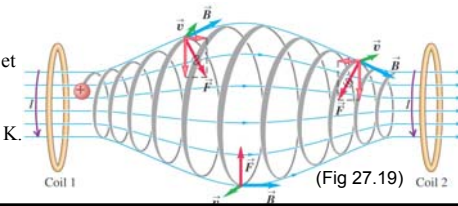


Tilsvaret

“Magnetisk flaske”:

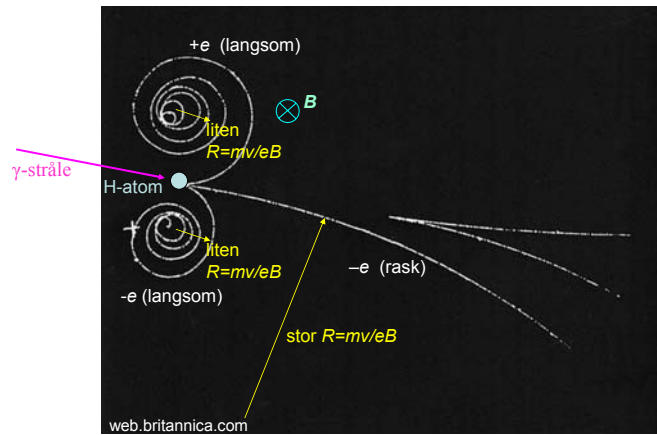
Ladde partikler kan fanges i et inhomogent magnetfelt.

Kan oppnå plasmagass med temperaturer opp i ~ million K.



(Fig 27.19)

### $\gamma$ -stråle + H-atom $\rightarrow$ elektron(rask)+elektron(langsom)+positron(langsom)



[web.britannica.com](http://web.britannica.com)

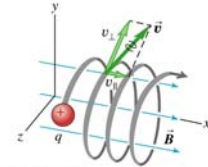
### ESRF

(European Synchrotron Radiation Facility)  
Grenoble, Frankrike.

Større skala: **Large Hadron Collider (LHC)**  
CERN, Geneve:  $R=4,3$  km Protoner



### Heliksformet bane. Typiske tallstørrelser (Ex. 27.4)

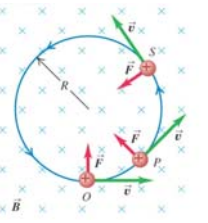


**Oppgitte data:**  
 Proton:  $B_x = 0,50 \text{ T}$   
 $q = +e = 1,6 \cdot 10^{-19} \text{ C}$   $v_{0x} = 1,5 \cdot 10^6 \text{ m/s}$   
 $m = 1,67 \cdot 10^{-27} \text{ kg}$   $v_{0z} = 2,0 \cdot 10^6 \text{ m/s}$

Finnt:  
 a) Syklotronradius  $R$   
 b) Syklotronfrekvens  $\omega$   
 c) Heliksens stigning ( $\Delta x$  per omdreining)

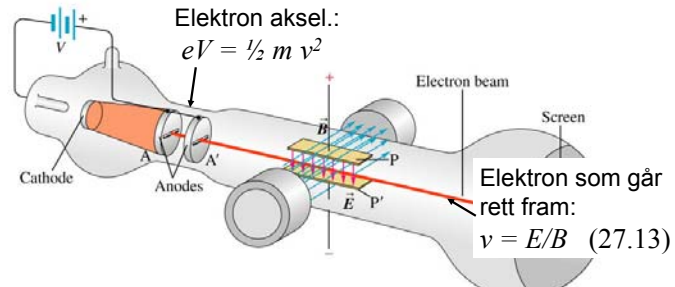
a) Syklotronradius (27.11):  $R = mv_{0z}/qB_x = 4,2 \text{ mm}$   
 b) Frekvens (27.12):  $\omega = v_{0z}/R (= qB_x/m) = 4,8 \cdot 10^7 \text{ s}^{-1}$ ,  
 dvs. periode  $T = 2\pi/\omega = 1,3 \cdot 10^{-7} \text{ s}$   
 c)  $\Delta x = v_{0x}T = 20 \text{ mm}$  per periode  $T$

Ellers:  
 $F = |F| = qv_{0z}B_x = 1,6 \cdot 10^{-14} \text{ N}$   
 Aksel =  $a = F/m = 9,6 \cdot 10^{12} \text{ m/s}^2$



### Thomsons $e/m$ -eksperiment

Resultat:  $e/m = 1,758820174 \cdot 10^{11} \text{ C/kg}$



Elektron aksel.:  
 $eV = \frac{1}{2} m v^2$

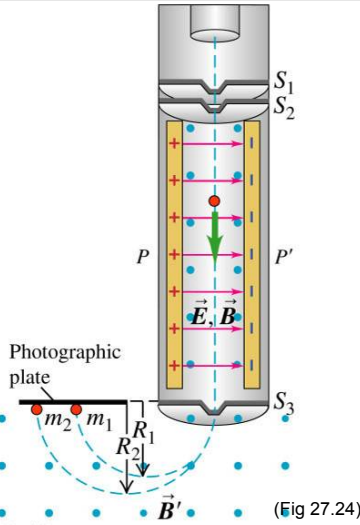
Elektron som går rett fram:  
 $v = E/B \quad (27.13)$

Katodestrålerør (TV-rør) er svært likt:  
Erstatt  $B$ -feltet med et horisontalt  $E$ -felt

(Fig 27.23) © 2004 Pearson Education, Inc., publishing as Addison Wesley

### Masse- spektrometer = hastighetsfilter + sirkelbaner for IONER

(Øving 9, opg. 3)

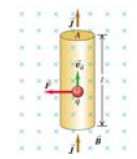


(Fig 27.24)

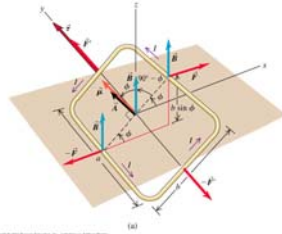
Copyright © 2004 Pearson Education, Inc., publishing as Addison Wesley.

### 27.2 Kraft og moment på strømsløyfe

- Kraft på lederbit med lengde  $ds$ :  
$$d\mathbf{F} = I ds \times \mathbf{B} \quad (27.20)$$
- Kraft på ledning i homogent felt:  
$$\mathbf{F} = I \mathbf{l} \times \mathbf{B} \quad (27.19)$$



### Kraft og kraftmoment på rektangulær ledersløyfe



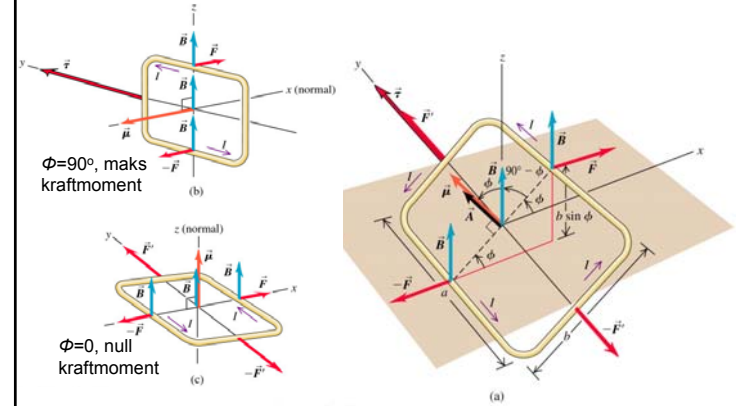
(Fig 27.31)

Nettokraft:  
 $\Sigma F = 0$

Kraftmoment:  
 $\tau = I a b B \sin \Phi$   
 $= \mu B \sin \Phi$

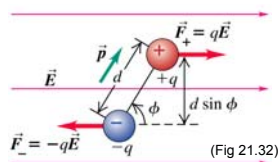
der magnetisk moment:  
 $\mu = I \cdot (\text{areal}) = I \cdot ab$

### Kraftmoment på ledersløyfe



(Fig 27.31)

### Analogi mellom elektrisk dipol $\mathbf{p}$ og magnetisk dipol $\mu$



(Fig 21.32)

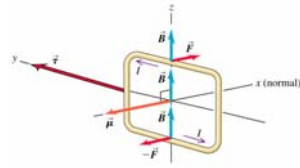
Kraft  $F = qE$

Kraftmoment  $\tau = \mathbf{p} \times \mathbf{E}$

Pot.energi  $U = -\mathbf{p} \cdot \mathbf{E}$

$\mathbf{p}$  søker seg paral. med  $\mathbf{E}$   
 (lavest energi)

Ser dere at en magnetisk MONOPOL er utenkelig ?



Kraft  $F = I \mathbf{l} \times \mathbf{B}$

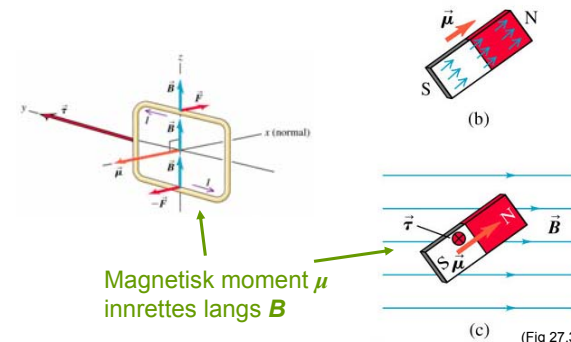
Kraftmoment  $\tau = \mu \times \mathbf{B}$

Pot.energi  $U = -\mu \cdot \mathbf{B}$

$\mu$  søker seg paral. med  $\mathbf{B}$   
 (lavest energi)

Strømsløyfe innrettes i et magnetisk felt,

slik vil også magnet (f.eks. kompassnål) innrettes i et magnetisk felt



Magnetisk moment  $\mu$  innrettes langs  $\mathbf{B}$

(Fig 27.37)

Homogent magnetfelt:  
Dreiemoment  $\tau$ , men  
ingen nettokraft (translasjonskraft)

Inhomogent magnetfelt:  
Nettokraft på strømsløyfe  $\neq 0$

(Fig 27.36)

Jern tiltrekkes både S-pol og N-pol.  
Feltet må være inhomogent.

(Fig 27.38)

### DC-motor

Maks. dreiemoment  $\tau$

Null dreiemoment  $\tau$   
(flyter på tregheten)

Maks. dreiemoment  $\tau$

(Fig 27.39)

Simulering:  
<http://www.walter-fendt.de/ph14e/electricmotor.htm>

### Kap. 27: Oppsummering: Magnetisk felt og magnetiske krefter

- Lorentzkrafta = elektrisk kraft + magnetisk kraft:  
$$\mathbf{F} = q\mathbf{E} + q\mathbf{v} \times \mathbf{B}$$
  
(magnetflukstetthet  $\mathbf{B}$  defineres fra denne)
- Kraft på lederbit med lengde  $ds$ :  $d\mathbf{F} = I ds \times \mathbf{B}$
- Magnetisk fluks:  $\Phi_B = \iint \mathbf{B} \cdot d\mathbf{A}$
- Magnetisk kilde ("magnet") angis ved alternativt:
  - N/S-pol** (monopol - dvs. separat S eller N - fins ikke)
  - Feltlinjer**: Lukka kurver, fra N  $\rightarrow$  S ytre og S  $\rightarrow$  N indre.
  - Magnetisk moment  $\mu$** : Høyrehandsregel, eller: i retning S  $\rightarrow$  N.
- $N$  strømsløyfer med areal  $A$ :  $\mu = N I A$
- Kraftmoment på magnetisk moment i  $\mathbf{B}$ -felt,  $\tau = \mu \times \mathbf{B}$ , innretter momentet langs  $\mathbf{B}$ -feltet og momentet har potensiell energi:  $U = -\mu \cdot \mathbf{B}$
- Jern tiltrekkes både S-pol og N-pol.  $\mathbf{B}$ -feltet må være inhomogent.
- Anvendelser:  
Hastighetsfilter, Thomsons e/m-eksperiment, katodestrålerør, massespektrometer, syklotron, DC-motor, Hall-effekt.